

АНТЕННО-ФИДЕРНЫЕ
СИСТЕМЫ

УДК 621.396.67.01

О РАСПРЕДЕЛЕНИИ ЭЙКОНАЛА НА ПОВЕРХНОСТИ
ГРАДИЕНТНОЙ ОСЕСИММЕТРИЧНОЙ ЛИНЗЫ

© 2021 г. А. С. Венецкий*

Институт радиотехники и электроники им. В.А. Котельникова РАН,
ул. Моховая, 11, стр. 7, Москва, 125009 Российская Федерация

*E-mail: AVenetsky@yandex.ru

Поступила в редакцию 28.07.2020 г.

После доработки 28.07.2020 г.

Принята к публикации 17.09.2020 г.

Получена формула для эйконала на выходной поверхности осесимметричной диэлектрической линзы с радиальным градиентом показателя преломления в цилиндрической системе координат при смещении источника из фокуса, расположенного на оси линзы. Формула представляет собой сумму членов первого и второго порядка малости разложения эйконала по степеням величин радиального и продольного смещений источника из фокуса. Коэффициенты при членах разложения имеют особенность на оси, поэтому найдены их параксиальные разложения, в которых эта особенность устранена. Проведено исследование погрешности полученных формул при вычислении эйконала в апертуре апланатических линз.

DOI: 10.31857/S0033849421110097

ВВЕДЕНИЕ

Осесимметричные линзы из плавно неоднородного (градиентного) диэлектрика с зависимостью коэффициента преломления от радиальной координаты используются как в оптическом, так и в радиодиапазоне электромагнитных волн и обладают дополнительной степенью свободы по сравнению с линзами из однородного диэлектрика. Исследование абберационных свойств таких линз усложняется из-за криволинейных траекторий лучей. Классическая (оптическая) теория аббераций таких линз описывает области фокусировки лучей в виде разложения по степеням угла зрения и апертуры линзы [1]. В работах [2–4] развита новая теория аббераций для однородных диэлектрических линз с использованием разложения эйконала по одному параметру – величине смещения источника. В работах [5, 6] эта теория обобщается для линз с цилиндрической симметрией и градиентом диэлектрической проницаемости вдоль декартовой координаты. В данной работе эта теория развивается для градиентных линз с осевой симметрией.

Рассмотрим осесимметричную диэлектрическую линзу с коэффициентом преломления n , зависящим от расстояния от оси линзы. Продольное и поперечное сечение линзы показано на рис. 1а, 1б.

При расположении источника в фокусе O на оси системы (оси z) на выходной поверхности линзы формируется плоский фронт. Предположим, что через любую точку B на выходной поверхности линзы проходит только один луч, выходящий

из источника под углом α к оси системы, т.е. обеспечивается взаимно-однозначное соответствие между углом α и расстоянием от оси системы до точки B , которое описывается функцией отображения:

$$r = \sqrt{X_B^2 + Y_B^2} = r(\alpha), \quad \alpha = \alpha(r). \quad (1)$$

Луч, выходящий из источника, лежит в плоскости, проходящей через ось линзы в плоскости xOz (см. рис. 1а), и его уравнение имеет вид

$$z = z_1 + \int_{x_1}^x \frac{a_1 dx}{\sqrt{n^2(x) - a_1^2}}, \quad (2)$$

где a_1 – параметр луча.

Пусть точка O_1 с координатами $(-\delta_R, 0, -\delta_Z)$ – положение смещенного источника (см. рис. 1б). Предположим, что при смещении источника в точку O_1 взаимно-однозначное соответствие множества точек выходной апертуры множеству выходящих из O_1 лучей сохраняется. При этом всегда существует луч, соединяющий точку O_1 и точку B .

Выберем систему координат $\tilde{x}\tilde{y}\tilde{z}$ с центром в фокусе O так, чтобы точка B имела координаты $(x_2, 0, z_2)$. Тогда другие точки будут иметь координаты $P(x_1, 0, z_1)$, $\hat{P}(x_1 + \Delta x, \Delta y, z_1 + \Delta z)$, $O_1(-\delta_x, -\delta_y, -\delta_z)$, $O(0, 0, 0)$. При этом $z_2 = F(x_2)$, $z_1 = f(x_1)$, где $z = F(x)$ и $z = f(x)$ – уравнения образующих поверхности линзы соответственно, $\delta_x = \delta_R \cos \varphi$, $\delta_y = -\delta_R \sin \varphi$.

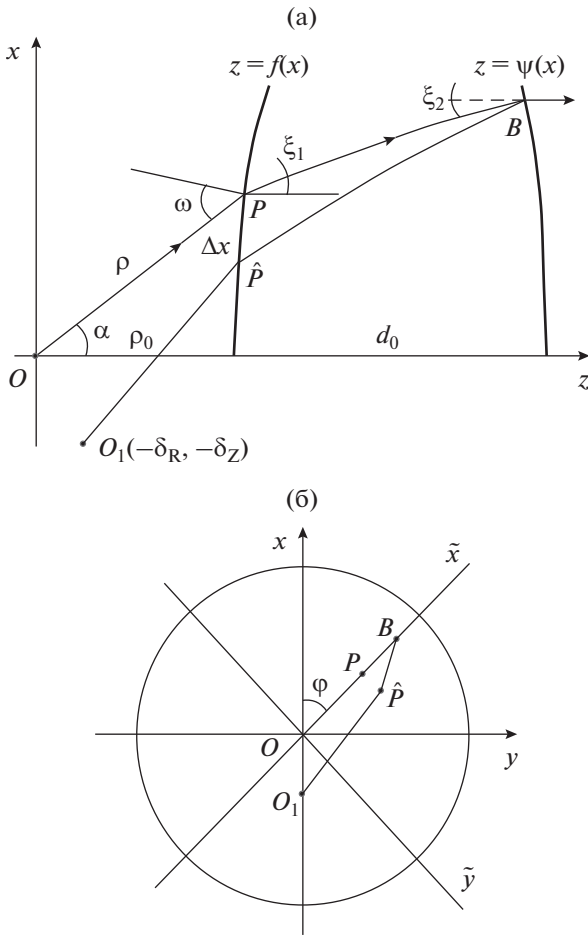


Рис. 1. Геометрия лучей в линзе: а – продольное сечение, б – поперечное сечение.

Уравнение луча, соединяющего точки B и \hat{P} имеет вид [7]

$$z_2 = \hat{z} + \int_{\hat{r}}^{r_2} \frac{\hat{a}_1 dr}{\sqrt{D(r)}}, \tag{3}$$

$$\Delta\varphi = \int_{\hat{r}}^{r_2} \frac{a_2 dr}{r^2 \sqrt{D(r)}}, \tag{4}$$

где $D(r) = n^2(r) - \hat{a}_1^2 - a_2^2/r^2$, $\Delta\varphi = \varphi_2 - \hat{\varphi}$, $\hat{z} = z_1 + \Delta z$, $\hat{a}_1 = a_1 + k_1 \Delta x$, $a_2 = k_2 \Delta y$, $\hat{r} = x_1 + \Delta r$, $\Delta r = \Delta x + \Delta y^2/2x_1$,

$$\Delta z = f'(x_1)\Delta x + \frac{f''(x_1)}{2x_1} \Delta y^2 + \frac{f'''(x_1)}{2} \Delta x^2,$$

$r_2 = x_2$, (\hat{a}_1, a_2) – лучевые параметры возмущенного луча, $(a_1, 0)$ – лучевые параметры невозмущенного луча, k_1, k_2 – неизвестные пока коэффициенты.

Эйконал луча, соединяющего точки O_1 и B , имеет вид

$$\hat{L} = |O_1 \hat{P}| + \int_{\hat{r}}^{r_2} \sqrt{D(r)} dr + a_2 \Delta\varphi + \hat{a}_1 (z_2 - \hat{z}). \tag{5}$$

Отметим, что в выбранной системе координат невозмущенный луч (т.е. луч при $\Delta x = \Delta y = 0$) лежит в плоскости xOz , и из уравнения (3) следует:

$$z_2 = z_1 + \int_{x_1}^{x_2} \frac{a_1 dx}{\sqrt{n^2(x) - a_1^2}}, \tag{6}$$

где точка P имеет координаты $(x_1, 0, z_1)$, а точка $B - (x_2, 0, z_2)$.

Для нахождения неизвестного параметра k_1 разложим выражение (3) в ряд по Δx в точке x_1 при условии, что $\Delta y = 0$, и ограничимся членами первого порядка малости:

$$z_2 = z_1 + f'(x_1)\Delta x + \int_{x_1}^{x_2} \frac{a_1}{\sqrt{D(x)}} dx + \left(k_1 \int_{x_1}^{x_2} \frac{n^2(x)}{D(x)^{3/2}} dx - \frac{a_1}{\sqrt{D(x_1)}} \right) \Delta x + \dots$$

Приравнявая сумму членов при Δx к 0 и учитывая соотношение (6), получим уравнение

$$f'(x_1) + k_1 \int_{x_1}^{x_2} \frac{n^2(x)}{D^{3/2}} dx - \text{ctg} \xi_1 = 0,$$

из которого находим

$$k_1 = \frac{\text{ctg} \xi_1 - f'(x_1)}{\int_{x_1}^{x_2} n^2/D^{3/2} dx}, \tag{7}$$

где $\text{ctg} \xi_1 = \frac{a_1}{\sqrt{D(x_1)}}$, $D(x) = n^2(x) - a_1^2$.

С одной стороны, из выражения (4) можно получить

$$\left. \frac{\partial \Delta\varphi}{\partial \Delta y} \right|_{\Delta x, \Delta y=0} = k_2 \int_{x_1}^{x_2} \frac{dx}{x^2 \sqrt{D}}. \tag{8}$$

С другой –

$$\Delta\varphi = \text{arctg} \left(\frac{\Delta y}{x_1 + \Delta x} \right) = \frac{\Delta y}{x_1} - \frac{\Delta x \Delta y}{x_1^2} + \dots$$

Следовательно,

$$\left. \frac{\partial \Delta\varphi}{\partial \Delta y} \right|_{\Delta x, \Delta y=0} = \frac{1}{x_1}. \tag{9}$$

Сравнивая (8) и (9), находим

$$\frac{1}{k_2} = x_1 \int_{x_1}^{x_2} \frac{dx}{x^2 \sqrt{D}}. \tag{10}$$

Представим эйконал (5) в виде ряда по степеням Δx и Δy . Для этого запишем его в виде

$$\hat{L} = |O_1 \hat{P}| + J_1 + J_2 + J_3,$$

где $J_1 = \int_{\hat{r}}^{\hat{r}_2} \sqrt{D(r)} dr$, $J_2 = a_2 \Delta \varphi$, $J_3 = \hat{a}_1(z_2 - \hat{z})$, и продифференцируем:

$$\frac{\partial J_1}{\partial \Delta x} = -k_1 \int_{\hat{r}}^{\hat{r}_2} \frac{\hat{a}_1}{\sqrt{D}} dr - \sqrt{D(\hat{r})},$$

$$\frac{\partial J_1}{\partial \Delta x} \Big|_0 = -k_1(z_2 - z_1) - \sqrt{D(x_1)}.$$

Используя соотношение $\text{ctg} \xi_1 = a_1 / \sqrt{D(x_1)}$, а также выражение (7) для k_1 , можно получить

$$\begin{aligned} \frac{\partial^2 J_1}{\partial \Delta x^2} \Big|_0 &= -k_1 \left(k_1 \int_{x_1}^{x_2} \frac{n^2(x)}{D^{3/2}} dx - \frac{a_1}{\sqrt{D(x_1)}} \right) - \frac{n_1 n_1' - a_1 k_1}{\sqrt{D(x_1)}} = \\ &= k_1 f'(x_1) - \frac{n_1 n_1' - a_1 k_1}{\sqrt{D(x_1)}}. \end{aligned}$$

Нетрудно получить

$$\begin{aligned} \hat{a}_1(z_2 - \hat{z}) &= (a_1 + k_1 \Delta x)(z_2 - z_1 - \Delta z) = a_1(z_2 - z_1) + \\ &+ [k_1(z_2 - z_1) - a_1 f'(x_1)] \Delta x - \\ &- [k_1 f'(x_1) + a_1 f''(x_1)/2] \Delta x^2 - a_1 \frac{f'(x_1)}{2x_1} \Delta y^2. \end{aligned}$$

Продифференцируем J_1, J_2, J_3 по Δy :

$$\frac{\partial J_1}{\partial \Delta y} = -k_2 \int_{\hat{r}}^{\hat{r}_2} \frac{a_2}{r^2 \sqrt{D}} dr - \sqrt{D(\hat{r})} \frac{\Delta y}{x_1}, \quad \frac{\partial J_1}{\partial \Delta y} \Big|_0 = 0,$$

$$\frac{\partial^2 J_1}{\partial \Delta y^2} \Big|_0 = -k_2^2 \int_{x_1}^{x_2} \frac{dx}{x^2 \sqrt{D(x)}} - \frac{\sqrt{D(x_1)}}{x_1} = -\frac{k_2}{x_1} - \frac{\sqrt{D(x_1)}}{x_1}$$

(была использована формула (10) для k_2),

$$\frac{\partial^2 J_2}{\partial \Delta y^2} \Big|_0 = \frac{2k_2}{x_1}, \quad \frac{\partial^2 J_3}{\partial \Delta y^2} \Big|_0 = -\frac{f'(x_1)}{x_1} a_1.$$

Используя соотношение, выражающее закон преломления невозмущенного луча в точке P :

$$\begin{aligned} \sqrt{D(x_1)} + a_1 f'(x_1) &= n_1 \sin \xi_1 + n_1 \cos \xi_1 \text{tg}(\omega - \alpha) = \\ &= n_1 \sin(\xi_1 + \omega - \alpha) / \cos(\omega - \alpha) = \sin \omega / \cos(\omega - \alpha), \end{aligned}$$

можно найти

$$\begin{aligned} \frac{\partial^2 (J_1 + J_2 + J_3)}{\partial \Delta y^2} \Big|_0 &= \frac{k_2}{x_1} - \frac{\sqrt{D(x_1)}}{x_1} - \frac{f'(x_1)}{x_1} a_1 = \\ &= \frac{k_2}{x_1} - n_1 (\sin \xi_1 + \cos \xi_1 \text{tg}(\omega - \alpha)) = \\ &= \frac{k_2}{x_1} - \frac{\sin \omega}{\rho \sin \alpha \cos(\omega - \alpha)}. \end{aligned}$$

Тогда можно записать

$$\begin{aligned} J_1 + J_2 + J_3 &= J_0 + (-\sqrt{D(x_1)} - a_1 f'(x_1)) \Delta x + \\ &+ \left(\frac{a_1 k_1 - n_1 n_1'}{2\sqrt{D(x_1)}} - \frac{1}{2} k_1 f'(x_1) - \frac{1}{2} a_1 f''(x_1) \right) \Delta x^2 + \\ &+ \frac{1}{2} \frac{\partial^2 (J_1 + J_2 + J_3)}{\partial \Delta y^2} \Big|_0 \Delta y, \quad Q_{Y1} = \delta_Y / \rho, \\ Q_{Y2} &= \frac{\sin \omega}{2\rho \sin \alpha \cos(\omega - \alpha)}, \\ J_0 &= \int_{x_1}^{x_2} \sqrt{D(x)} dx + a_1(z_2 - z_1). \end{aligned}$$

Раскроем также $|O_1 \hat{P}|$ в выражении (5):

$$\begin{aligned} |O_1 \hat{P}| &= \\ &= \sqrt{(x_1 + \Delta x + \delta_x)^2 + (\Delta y + \delta_y)^2 + (z_1 + \Delta z + \delta_z)^2} = \\ &= \rho + \delta_x \sin \alpha + \delta_z \cos \alpha + A_2 + Q_{X1} \Delta x + Q_{Y1} \Delta y + \\ &+ Q_{X2} \Delta x^2 + Q_{Y2} \Delta y^2, \quad Q_{X1} = \frac{\sin \omega}{\cos(\omega - \alpha)} + \\ &+ \frac{\delta_x \cos \omega \cos \alpha}{\rho \cos(\omega - \alpha)} - \frac{\delta_z \cos \omega \sin \alpha}{\rho \cos(\omega - \alpha)}, \\ Q_{X2} &= \frac{\cos^2 \alpha}{2\rho \cos^2(\omega - \alpha)} + \frac{\cos \alpha}{2} f''(x_1), \\ Q_{Y1} &= \delta_Y / \rho, \quad Q_{Y2} = \frac{\sin \omega}{2\rho \sin \alpha \cos(\omega - \alpha)}, \\ A_2 &= \frac{\cos^2 \alpha}{2\rho} \delta_x^2 + \frac{\sin^2 \alpha}{2\rho} \delta_z^2 - \frac{\sin 2\alpha}{2\rho} \delta_x \delta_z. \end{aligned}$$

Окончательно получаем выражение для эйконала (5):

$$\begin{aligned} \hat{L} &= \rho + A_2 + J_0 + \tilde{Q}_{X1} \Delta x + Q_{Y1} \Delta y + \tilde{Q}_{X2} \Delta x^2 + \tilde{Q}_{Y2} \Delta y^2, \\ \tilde{Q}_{Y2} &= \frac{k_2}{2x_1}, \quad \tilde{Q}_{X2} = Q_{X2} + \frac{a_1 k_1 - n_1 n_1'}{2\sqrt{D(x_1)}} - \frac{1}{2} k_1 f'(x_1) - \frac{1}{2} a_1 f''(x_1), \\ \tilde{Q}_{X1} &= \frac{\delta_x \cos \omega \cos \alpha}{\rho \cos(\omega - \alpha)} - \frac{\delta_z \cos \omega \sin \alpha}{\rho \cos(\omega - \alpha)}. \end{aligned} \tag{11}$$

Из принципа Ферма следует, что эйконал на истинной траектории достигает минимума и, следовательно, удовлетворяются уравнения:

$$\frac{\partial \hat{L}}{\partial \Delta x} = 0, \quad \frac{\partial \hat{L}}{\partial \Delta y} = 0,$$

из которых можно найти неизвестные Δx и Δy :

$$\Delta x = -\frac{\tilde{Q}_{x1}}{4\tilde{Q}_{x2}}, \quad \Delta y = -\frac{Q_{y1}}{4\tilde{Q}_{y2}}.$$

После подстановки полученных Δx , Δy в выражение для эйконала (11), получаем

$$\hat{L} = \rho + A_2 + J_0 - \frac{\tilde{Q}_{x1}^2}{4\tilde{Q}_{x2}} - \frac{1}{2k_2} Q_{y1}^2.$$

В исходной системе координат, в которой точка B имеет координаты $(R \cos \varphi, R \sin \varphi, z_2)$, формула для эйконала будет иметь вид:

$$\hat{L}(R, \varphi) = \rho + A_2 + J_0 - \frac{\cos^2 \omega (\delta_R \cos \varphi \cos \alpha - \delta_z \sin \alpha)^2}{4\tilde{Q}_{x2} \cos^2(\omega - \alpha) \rho^2} - \frac{x_1 \delta_R^2 \sin^2 \varphi}{2k_2 \rho^2}. \tag{12}$$

Полученная формула имеет особенность при $R = 0$ и в силу этого теряет точность в малой окрестности оси. В окрестности 0 закон изменения коэффициента преломления можно считать квадратичным:

$$n^2(x) = n_0^2 - c_2 x^2.$$

Тогда интеграл, входящий в (7), можно представить в виде

$$\int_{x_1}^{x_2} \frac{n^2(x) dx}{(n^2(x) - a_1^2)^{3/2}} = \frac{n_0^2}{c_2^{3/2}} \int_{x_1}^{x_2} \frac{dx}{t^3} - \frac{1}{\sqrt{c_2}} \int_{x_1}^{x_2} \frac{x^2 dx}{t^3}, \tag{13}$$

где

$$t = \sqrt{p^2 - x^2}, \quad p^2 = (n_0^2 - a_1^2)/c_2,$$

$$\int_{x_1}^{x_2} \frac{dx}{t^3} = \frac{1}{p^2} \left(\frac{x_2}{\sqrt{p^2 - x_2^2}} - \frac{x_1}{\sqrt{p^2 - x_1^2}} \right),$$

$$\int_{x_1}^{x_2} \frac{x^2 dx}{t^3} = \frac{x_2}{\sqrt{p^2 - x_2^2}} - \frac{x_1}{\sqrt{p^2 - x_1^2}} - \arcsin \frac{x_2}{p} + \arcsin \frac{x_1}{p}.$$

В заданном законе отображения (1) $r = x_2$, а угол α можно выразить через x_1 , используя соотношения

$$f(x) = f_0 + f_2 x^2 + f_4 x^4 + \dots,$$

$$\alpha = \arctg \left(\frac{x_1}{f(x_1)} \right) = \frac{x_1}{f_0} - \left(\frac{f_2}{f_0^2} + \frac{1}{3f_0^3} \right) x_1^3.$$

Закон отображения $x_2 = r(\alpha)$ можно привести к виду

$$x_2^2 = \beta_2 x_1^2 - \beta_4 x_1^4,$$

где $\beta_2 = f_e^2/f_0^2$, а f_e – коэффициент разложения $r(\alpha) = f_e \alpha + p \alpha^3 + \dots$

Используя соотношения $\omega = \arctg[f'(x_1)] + \alpha$ и $\sin \omega = n(x_1) \sin(\omega - \alpha + \xi_1)$, лучевой параметр можно представить в виде

$$a_1^2 = n^2(x_1) \cos^2 \xi_1 = n_0^2 - (c_2 + g_2) x_1^2 + A_4 x_1^4.$$

Теперь интеграл (13) можно записать в виде

$$\int_{x_1}^{x_2} \frac{n^2(x) dx}{D(x)^{3/2}} = \frac{I_0}{x_1^2} + I_2, \quad I_0 = \frac{n_0^2}{(c_2 + g_2)} \left(\frac{1}{g_1} - \frac{1}{h_1} \right),$$

$$I_2 = \frac{n_0^2}{(c_2 + g_2)} \left[\frac{A_4}{c_2 + g_2} \left(\frac{1}{g_1} - \frac{1}{h_1} \right) + S Q_{21} \right] + \frac{1}{g_1} - \frac{1}{h_1} +$$

$$+ \frac{1}{\sqrt{c_2}} \left(\arcsin \frac{\sqrt{c_2}}{\sqrt{c_2 + g_2}} - \arcsin \frac{\sqrt{\beta_2 c_2}}{\sqrt{c_2 + g_2}} \right),$$

$$S Q_{21} = \frac{A_4}{2g_1^3} - \frac{A_4 - \beta_4 (c_2 + g_2)/\beta_2}{2\beta_2 h_1^3},$$

$$k_1 = K x_1 (1 - M_2 x_1^2), \tag{14}$$

$$K = \frac{h_1 (c_2 + g_2)}{n_0 (g_1 - h_1)}, \quad M_2 = \Xi_1^2/2 + 2f_2 \Xi_1 +$$

$$+ K \left[(\Xi_3 - \Xi_1^3/6) I_0 + \Xi_1 I_2 \right], \quad \Xi_1 = -g_1/n_0,$$

$$\Xi_3 = -\frac{f_2}{f_0^2} - \frac{1}{3f_0^3} + \frac{c_2 \omega_1}{2n_0^3} + \frac{\omega_1^3}{6n_0} \left(\frac{1}{n_0^2} - 1 \right) + \omega_3 \left(\frac{1}{n_0} - 1 \right),$$

$$\omega_1 = 2f_2 + 1/f_0, \quad \omega_3 = 4f_4 - \frac{8}{3} f_2^3 - \frac{f_2}{f_0^2} - \frac{1}{3f_0^3},$$

$$A_4 = c_2 \Xi_1^2 + n_0^2 (\Xi_1^4 - 2\Xi_1 \Xi_3),$$

$g_1 = 2f_2(n_0 - 1) - 1/f_0$, $h_1 = 2\psi_2(n_0 - 1)$, $g_2 = g_1^2$, f_2, f_4, ψ_2 – коэффициенты разложений поверхностей линзы (см. рис. 1а)

$$f(x) = f_0 + f_2 x^2 + f_4 x^4 + \dots,$$

$$\psi(x) = f_0 + d_0 + \psi_2 x^2 + \psi_4 x^4 + \dots$$

С учетом найденного k_1 (14) выражение для \tilde{Q}_{x2} можно привести к виду

$$\tilde{Q}_{x2} = \frac{g_2 + c_2}{2(h_1 - g_1)} + \left(\frac{1}{2g_1} W_2 + F_2 \right) x_1^2,$$

$$\frac{1}{4\tilde{Q}_{x2}} = \frac{h_1 - g_1}{2(c_2 + g_2)} - \frac{(h_1 - g_1)^2}{(c_2 + g_2)^2} \left(\frac{1}{2g_1} W_2 + F_2 \right) x_1^2,$$

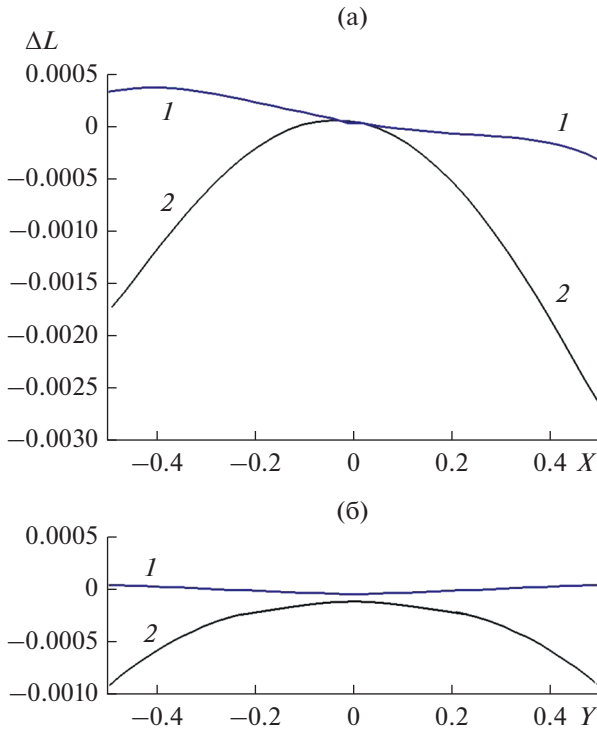


Рис. 2. Ошибка вычисления эйконала на выходной поверхности линзы с параметрами: $f_0 = 0.7$, $d_0 = 0.8$, $f_e = 1.1$, $n_0 = 1.6$, $c_2 = 1.5$, а – меридиональная плоскость, б – сагиттальная плоскость; кривая 1 соответствует формуле (12), кривая 2 – формуле (16).

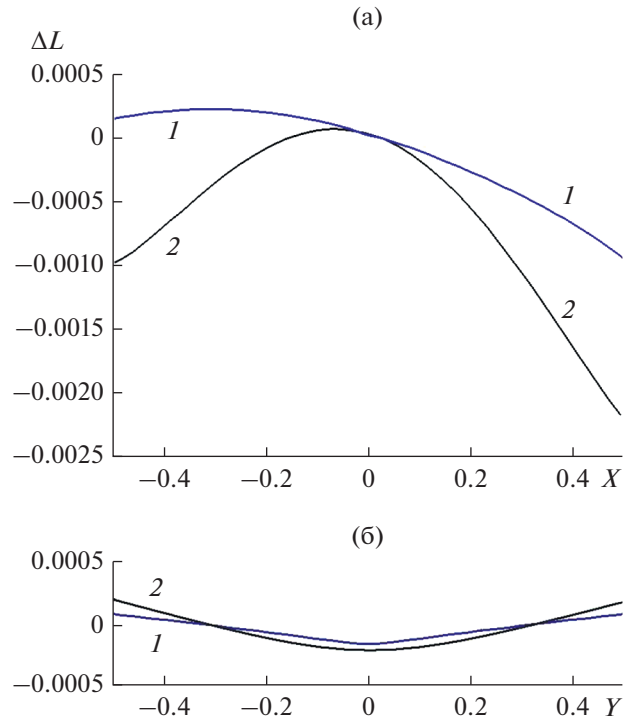


Рис. 3. Ошибка вычисления эйконала на выходной поверхности линзы с параметрами: $f_0 = 0.7$, $d_0 = 0.8$, $f_e = 1.1$, $n_0 = 1.6$, $c_2 = 0.5$; а – меридиональная плоскость, б – сагиттальная плоскость; кривая 1 соответствует формуле (12), кривая 2 – формуле (16).

$$W_2 = Kn_0 \left(\frac{c_2 + g_2}{2n_0^2} + M_2 \right) + W_0K \left[n_0 \left(\Xi_3 - \Xi_1^3/6 \right) - \frac{c_2 \Xi_1}{2n_0} \right], \quad W_0 = n_0K + c_2,$$

$$F_2 = \frac{2f_2^2}{f_0} - \frac{f_2}{f_0^2} - \frac{3}{4f_0^3} + \frac{f_2}{n_0} (c_2 + g_2) \left(\frac{1}{2} - \frac{h_1}{g_1 - h_1} \right) + 6(1 - n_0)f_4.$$

Теперь раскроем особенность в члене с k_2 . Из формулы (10) следует:

$$\frac{x_1}{k_2} = x_1^2 \int_{x_1}^{x_2} \frac{dx}{x^2 \sqrt{D}} = \frac{x_1^2}{\sqrt{c_2}} \int_{x_1}^{x_2} \frac{dx}{x^2 \sqrt{p^2 - x^2}} = \frac{x_1^2}{p^2 \sqrt{c_2}} \left(\frac{\sqrt{p^2 - x_1^2}}{x_1} - \frac{\sqrt{p^2 - x_2^2}}{x_2} \right).$$

Используя зависимости x_2 и p от x_1 и оставляя члены не выше второго порядка по x_1 , можно получить

$$\frac{x_1}{2k_2} = \frac{h_1 - g_1}{2(c_2 + g_2)} + H_2 x_1^2,$$

$$H_2 = \frac{1}{2(c_2 + g_2)} \left(\frac{A_4(h_1 - g_1)}{c_2 + g_2} - \frac{\beta_4(h_2 + c_2) - A_4}{2h_1 \beta_2} + \frac{A_4}{2g_1} \right).$$

Формулу для эйконала луча в точке B теперь можно записать в виде

$$\hat{L}(R, \varphi) = \rho + A_2 + J_0 - \frac{\cos^2 \omega}{\cos^2(\omega - \alpha) \rho^2} (Q_0 + G_2 x_1^2) \times (\delta_R \cos \varphi \cos \alpha - \delta_Z \sin \alpha)^2 - \frac{1}{\rho^2} (Q_0 + H_2 x_1^2) \delta_R^2 \sin^2 \varphi, \quad (15)$$

где

$$Q_0 = \frac{h_1 - g_1}{2(c_2 + g_2)}, \quad G_2 = -4Q_0^2 \left(\frac{1}{2g_1} W_2 + F_2 \right).$$

Если положить $x_1 = 0$, то выведенная формула (15) будет иметь вид

$$\hat{L}(R, \varphi) = \rho + A_2 + J_0 - \frac{Q_0 \cos^2 \omega}{\cos^2(\omega - \alpha) \rho^2} \times (\delta_R \cos \varphi \cos \alpha - \delta_Z \sin \alpha)^2 - \frac{Q_0}{\rho^2} \delta_R^2 \sin^2 \varphi. \quad (16)$$

На рис. 2–5 приведены результаты исследования точности полученных формул – графики разностей точного геометрического значения эйконала и найденного по приближенным формулам (12) и (16) эйконала при смещении источни-

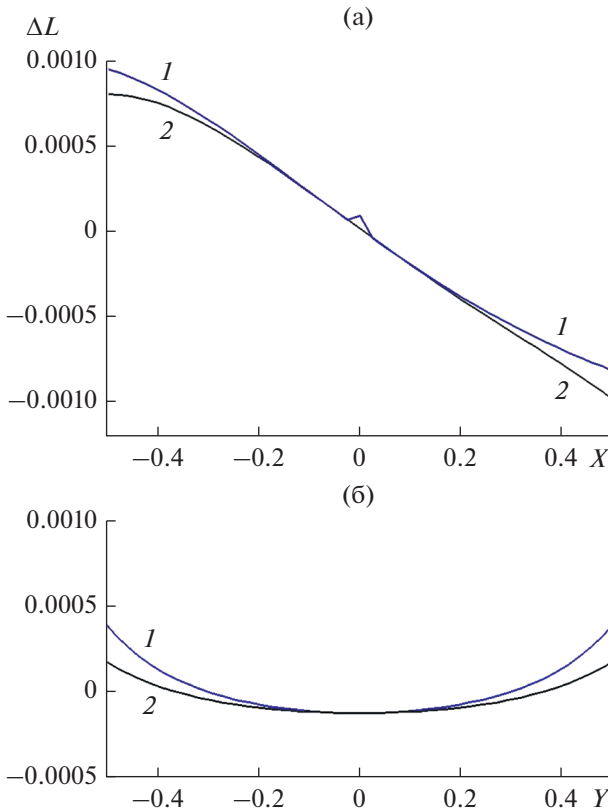


Рис. 4. Ошибка вычисления эйконала на выходной поверхности линзы с параметрами: $f_0 = 1, d_0 = 0.5, f_e = 1.3, n_0 = 1.6, c_2 = 1.5$; а – меридиональная плоскость, б – сагиттальная плоскость; кривая 1 соответствует формуле (12), кривая 2 – формуле (16).

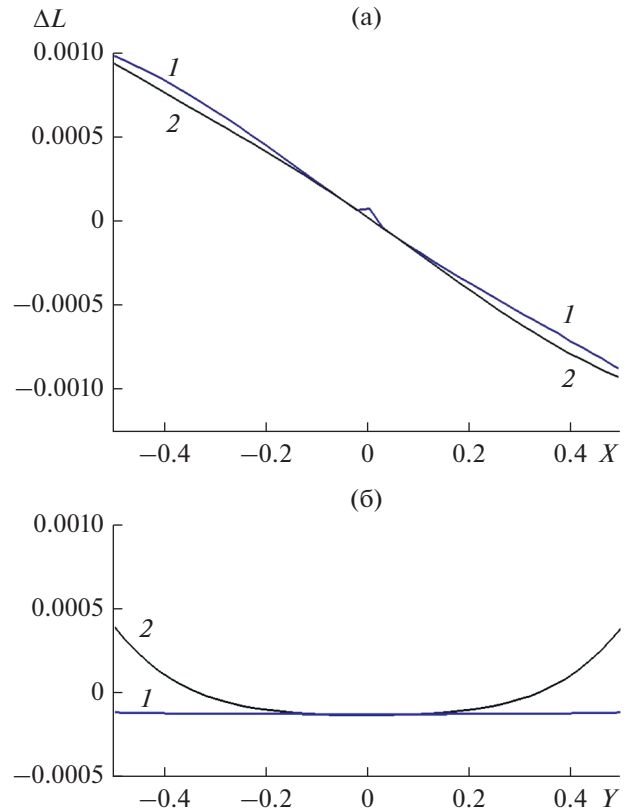


Рис. 5. Ошибка вычисления эйконала на выходной поверхности линзы с параметрами: $f_0 = 1, d_0 = 0.5, f_e = 1.3, n_0 = 1.6, c_2 = 1.5, c_4 = -1.5$; а – меридиональная плоскость, б – сагиттальная плоскость; кривая 1 соответствует формуле (12), кривая 2 – формуле (16).

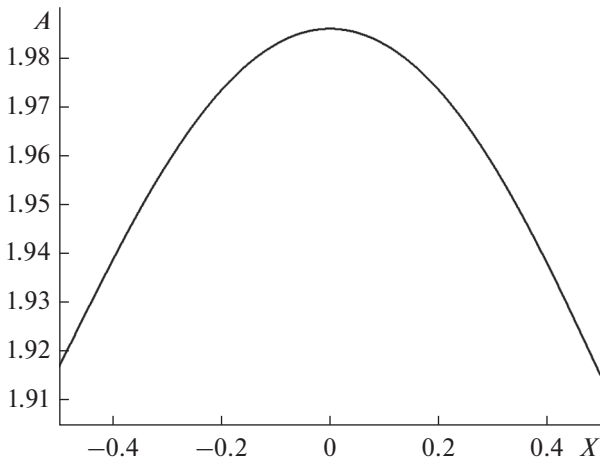


Рис. 6. Аберрация эйконала в меридиональной плоскости на выходной поверхности линзы с параметрами: $f_0 = 0.7, d_0 = 0.8, f_e = 1.1, n_0 = 1.6, c_2 = 1.5$.

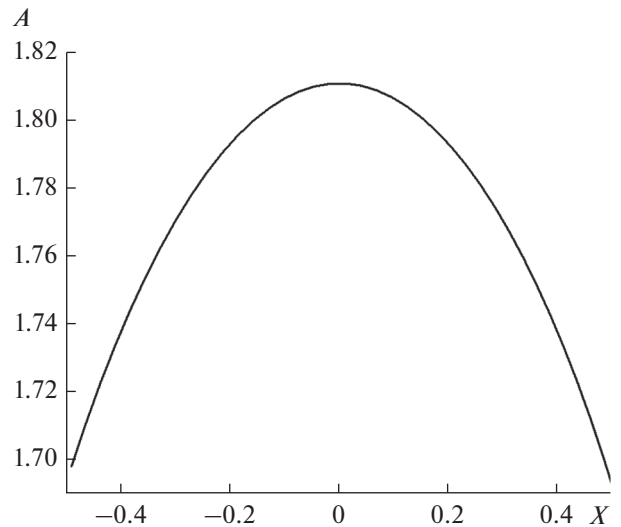


Рис. 7. Аберрация эйконала в меридиональной плоскости на выходной поверхности линзы с параметрами: $f_0 = 1, d_0 = 0.5, f_e = 1.3, n_0 = 1.6, c_2 = 1.5$.

ка из фокуса для двух апланатических линз с координатами смещенного источника $(-0.2, 0.01)$. На рис. 6, 7 приведены графики аберрации эйконала, посчитанные строгим геометрико-оптическим

методом, т.е. графики эйконала после вычета линейной составляющей для обеих линз. Все величины на графиках нормированы на диаметр апертуры линз.

Из сравнения рис. 6, 7 с рис. 2–5 видно, что величина аберрации в меридиональной плоскости для линзы с $f_0 = 0.7$ примерно в 30 раз больше ошибки формулы (16), и в 140 раз больше ошибки формулы (12); для линзы с $f_0 = 1$ величина аберрации в меридиональной плоскости примерно в 50 раз больше ошибки по формулам (12) и (16) даже без учета линейной составляющей, которая не влияет на величину аберраций. Это позволяет использовать приближенные формулы для исследования аберраций в градиентных линзах.

ФИНАНСИРОВАНИЕ РАБОТЫ

Работа выполнена за счет бюджетного финансирования в рамках государственного задания по теме 0030-2019-006.

СПИСОК ЛИТЕРАТУРЫ

1. *Marchand E.W.* Gradient Index Optics. N.Y.: Academic Press, Inc., 1978.
2. *Венецкий А.С., Калошин В.А.* // ДАН. 2015. Т. 463. № 5. С. 533.
3. *Венецкий А.С., Калошин В.А.* // РЭ. 2017. Т. 62. № 6. С. 533.
4. *Венецкий А.С., Калошин В.А.* // РЭ. 2018. Т. 63. № 2. С. 144.
5. *Венецкий А.С.* // Журн. радиоэлектроники. 2018. № 8. <http://jre.cplire.ru/jre/aug18/7/text.pdf>.
6. *Венецкий А.С., Калошин В.А.* // РЭ. 2020. Т. 65. № 9. С. 872.
7. *Кравцов Ю.А., Орлов Ю.И.* Геометрическая оптика неоднородных сред. М.: Наука, 1980.